

## بررسی ویژگی‌های مکانیکی چندسازه پلی‌اتیلن سنگین بازیافتی و پسماند تولید فورفورال از باگاس

حسین احمدی<sup>۱</sup>، امیرهومن حمصی<sup>۲</sup> و سعید مهدوی<sup>۳\*</sup>

۱- دانشجوی کارشناسی ارشد رشته علوم و صنایع چوب و کاغذ، دانشگاه آزاد واحد علوم و تحقیقات تهران

۲- دانشیار، علوم و صنایع چوب و کاغذ، دانشگاه آزاد واحد علوم و تحقیقات تهران

۳- نویسنده مسئول، دانشیار، مؤسسه تحقیقات جنگل‌ها و مرتع کشور، بخش تحقیقات علوم چوب و فرآورده‌های آن، تهران

پست الکترونیک: smahdavi43@rifr.ac.ir

تاریخ دریافت: بهمن ۱۳۹۳

تاریخ پذیرش: فروردین ۱۳۹۴

### چکیده

این تحقیق با هدف بررسی ویژگی‌های مکانیکی چندسازه پلی‌اتیلن سنگین بازیافتی و پسماند حاصل از فرایند تولید فورفورال از باگاس انجام شد. برای این منظور پلی‌اتیلن بازیافتی در سه سطح ۵۸، ۶۸ و ۷۸ درصد مورد استفاده قرار گرفت و پسماند تولید فورفورال از باگاس در سه سطح ۲۰، ۳۰ و ۴۰ درصد به عنوان پرکننده استفاده شد. همچنین از مالتیک ایندیرید گرافت شده با پلی‌اتیلن (PE-g-MA) شرکت آریا پلیمر در سطح ثابت ۲ درصد استفاده شد. مواد در یک اکسترودر دو ماردونه مخلوط و نمونه‌های آزمونی با استفاده از روش قالب‌گیری تزریقی ساخته شدند. ویژگی‌های مکانیکی چندسازه شامل مقاومت‌کششی، خششی و ضربه فاق‌دار مطابق با آین‌نامه استاندارد ASTM اندازه‌گیری شدند. نتایج نشان داد با افزایش مقدار پرکننده از ۲۰ به ۳۰ درصد وزنی، مقاومت و مدول کششی و خشمی نسبت به شاهد افزایش می‌یابد و با افزایش ۴۰ درصدی پرکننده کاهش می‌یابد. همچنین با افزایش مقدار پرکننده از ۲۰ به ۴۰ درصد وزنی، مقاومت به ضربه فاق‌دار چندسازه چوب پلاستیک کاهش می‌یابد. طیف‌سنجی FTIR کامپوزیت ساخته شده از پلی‌اتیلن سنگین بازیافتی و ۳۰٪ درصد پسماند انجام شد. نتایج طیف‌سنجی FTIR نشان داد که باندهای جذبی گروه‌های کربونیل (C=O) و اتصالات در نواحی  $1600-1750\text{ cm}^{-1}$  در حضور عامل سازگارکننده ایندیرید مالتیک پلی‌اتیلنی تا حدود کمی افزایش یافته که این پدیده باعث حداکثر افزایش ویژگی‌های مکانیکی در چندسازه چوب پلاستیک در هنگام استفاده از ۳۰ درصد الیاف پسماند تولید فورفورال از باگاس شده است.

واژه‌های کلیدی: پلی‌اتیلن سنگین بازیافتی، پسماند تولید فورفورال از باگاس، ویژگی‌های مکانیکی، طیف‌سنجی FTIR

مقدمه  
Shokrieh and تقویت‌کننده<sup>۱</sup> خوانده می‌شود (Sonbolestan, 2008). فاز تقویت‌کننده موجب بهبود خواص مکانیکی می‌گردد و فاز زمینه یا ماتریس در چندسازه‌ها موجب انتقال نیرو به فاز تقویت‌کننده، مقاومت در برابر حرارت و مقاومت در برابر عوامل شیمیایی می‌شود. با توجه به کمبود شدید چوب در صنعت چوب و کاغذ

مواد چندسازه به موادی گفته می‌شود که از یک یا چند فاز ناپیوسته<sup>۱</sup> در درون یک فاز پیوسته<sup>۲</sup> تشکیل می‌شود و فاز پیوسته را ماده زمینه یا ماتریس<sup>۳</sup> می‌نامند. فاز ناپیوسته معمولاً سخت‌تر و محکم‌تر از فاز پیوسته بوده و

1- Discontinuos phase

2 -Continuos phase

3 -Matrix

لیگنین استخراج شده به وسیله روش اسیدی در رزین های گرمائز را مشابه با روش ارگانوسل<sup>۳</sup> می دانند. Samal و همکاران (۲۰۱۳) اختلاط ۱۵ و ۳۰ درصد پودر لیگنین تهشین شده چوب بلوط با روش هیدرولیز اسیدی را در پلی اتیلن سبک به همراه دو نوع سازگارکننده مورد بررسی قرار دادند. البته با افزایش مقدار لیگنین به عنوان پرکننده، مقاومت کششی چندسازه کاهش یافت.

Schorr و همکاران (۲۰۱۴)، بررسی را در مورد استفاده از لیگنین فرایند کرافت با سه سطح ۱۰، ۲۰ و ۳۰ درصد در پلی استایرن بازیافتی انجام دادند. آنان لیگنین را برای استفاده در چندسازه ها به دلیل آنتی اکسیدان بودن، رفتار مناسب حرارتی و نیز زیست تخریب پذیر بودن کاندید خوبی می دانند. البته استفاده از ۳۰٪ لیگنین موجب کاهش مقاومت به ضربه چندسازه نسبت به نمونه شاهد شد.

Fazi (۲۰۱۲)، معتقد است که مقاومت کششی در چندسازه با تقابل اجزای آن در مقیاس مولکولی ارتباط زیادی دارد. وی با افزودن ۱۵ درصد الیاف خمیر کاغذ کرافت به پلی لاکتیک اسید، افزایش مقاومت کششی چندسازه را به دلیل ایجاد پیوند قوی در سطح تماس دو ماده گزارش نموده است، اما با افزودن درصد بیشتر الیاف، تغییرات قابل توجهی در این مقاومت حاصل نشد. نامبرده افزایش مدول کششی چندسازه را با افزودن الیاف خمیر کاغذ کرافت به علت محدودیت قابلیت حرکت زنجیر پلیمری می داند.

Fazi (۲۰۱۲)، افزودن پسماند به جای مانده از اتانول گیری چوب های صنوبر و کاج با لیگنینی در حدود ۵۱ درصد را به اختلاط پلی لاکتیک اسید و الیاف خمیر کاغذ کرافت انجام داد. نتایج آزمون DMA<sup>۴</sup> نشان داد که دمای انتقال شیشه ای<sup>۵</sup> پلیمر خالص و نیز چندسازه بدون پسماند حاوی لیگنین افزایش یافت. افزایش در ثبات ابعادی چندسازه می تواند منجر به امکان استفاده از دمای بیشتر برای ساخت چندسازه شود. البته با افزایش مقدار الیاف از

ایران و سیاست های کلان دولت مبنی بر عدم استفاده از منابع جنگلی به عنوان ماده اولیه در ساخت فرآورده های مختلف چوبی، همواره قسمت عمده ای از چوب و فرآورده های آن از طریق واردات تأمین می شود. به همین دلیل، استفاده از الیاف غیر چوبی حاصل از پسماند گیاهان کشاورزی برای تأمین بخشی از مواد اولیه این صنایع اجتناب ناپذیر است (Yousefi, 2007).

نیشکر، یکی از بالارزش ترین منابع گیاهی در جهان محسوب می گردد. این ارزش نه فقط به علت تولید شکر از نیشکر، بلکه تا حدود زیادی به سبب اهمیت روزافزون محصولات فرعی و صنایع متعدد جانبه آن است؛ که با پیشرفت علم و فناوری، هر روز ابعاد آن وسیع تر و دامنه آن گسترده تر می گردد.

فورفورال به عنوان یکی از مشتقات شیمیایی تهیه شده از باگاس، کاربردهای فراوانی در صنایع شیمیایی، رنگ و رزین دارد. در حال حاضر، پسماند به جای مانده از باگاس فورفورال گیری شده که به عنوان ضایعات کارخانه محسوب می شود باید از یارد خارج شده و مدفون گردد.

فورفورال به عنوان یکی از فرآورده های جانبه باگاس کاربردهای فراوانی در صنایع شیمیایی، رنگ و رزین داشته که در حال حاضر پسماند آن نیز به عنوان ضایعات کارخانه باید از یارد خارج شده و مدفون گردد.

فرایند تولید فورفورال به وسیله هیدرولیز اسیدی قند های باگاس (عدمتأ<sup>۶</sup> زایلوز) در برج تقطیر کارخانه انجام می شود. پسماند هیدرولیز شده باگاس که به رنگ قهوه ای تیره است، حاوی حدود ۵۷ درصد لیگنین غیرقابل حل در اسید است. لیگنین، کوپلیمری ناهمگن و بی شکل<sup>۷</sup> با شبکه ای قطبی متشکل از واحد های فنیل پروپان است (Jadianian, 2015).

Samal و همکاران (۲۰۱۳) استفاده از لیگنین به عنوان فراوان ترین ماده زیست تخریب پذیر<sup>۸</sup> پس از سلولز را به دلیل قابل تجدید بودن، دسترسی آسان، هزینه کم و امکان نسبتاً آسان اصلاح شیمیایی قابل توجه می دانند. آنان اختلاط

3 -Organocell

4 -Dynamic mechanical properties

5 -Glass transition temperature

1- Amorphous

2 -Biodegradable

Singleton و همکاران (۲۰۰۳)، مقاومت مکانیکی چندسازه ساخته شده از پلی‌اتیلن بازیافته با دانسیته زیاد و الیاف کتان را مورد مطالعه قرار دادند. نتایج آنان نشان داد که خواص مکانیکی اندازه‌گیری شده تابعی از مقدار الیاف است. اگرچه در این تحقیق مقایسه‌ای بین مواد ساخته شده از پلی‌اتیلن بازیافته و خام انجام نشده است، ولی آنها بیان داشتند که خام یا بازیافته بودن پلی‌اتیلن نمی‌تواند تأثیر زیادی داشته باشد.

Tong و همکاران (۲۰۱۳) اثر اختلاط پوسته برنج بر پلی‌اتیلن بازیافته سنگین را مورد بررسی قرار دادند. با افزایش ۱۰ تا ۴۰ درصد میزان پرکننده، مدول کششی و خمشی چندسازه افزایش یافت اما مقاومت خمشی تا افزودن ۳۰ درصد پرکننده افزایش و بعد کاهش یافت. البته مقاومت به ضربه چندسازه با افزایش درصد پرکننده کاهش یافت. در منابع تابحال تولید چندسازه چوب پلاستیک از پسماند تولید فورفورال از باگاس مورد بررسی و تحقیق قرار نگرفته است؛ بنابراین، این تحقیق با هدف بررسی ویژگی‌های مکانیکی چندسازه پلی‌اتیلن سنگین بازیافته و پسماند تولید فورفورال از باگاس انجام شد.

### مواد و روش‌ها

#### پلیمر

در این تحقیق از پلی‌اتیلن بازیافته سنگین به عنوان ماتریس پلیمری استفاده شد. پلی‌اتیلن بازیافته از شرکت برادران کوشیار قزوین تهیه شد. پلی‌اتیلن سنگین به صورت پرک شده تهیه شد. مشخصات پلی‌اتیلن بازیافته سنگین در جدول ۱ آورده شده است.

۱۵ به ۲۰ درصد، ثبات حرارتی چندسازه همراه با مقاومت‌ها کاهش یافت.

Azeez (۲۰۱۳) در تحقیقی که در مورد اختلاط ۱۰ تا ۳۵ درصد پوسته برنج<sup>۱</sup> به عنوان پرکننده به پلی‌اتیلن سبک بازیافته و بکر بود نتیجه گرفت که مقاومت‌کششی چندسازه با افزودن ۱۰ درصد شلتونک ۱۰ درصد افزایش یافت و با مقاومت خمشی آن، با افزایش پرکننده سلولزی افزایش و مقاومت به ضربه کاهش یافتند.

Nourbakhsh و همکاران (۲۰۱۱)، به بررسی اثر گروه‌های شیمیایی به وجود آمده در فرایند کامپوزیت چوب - پلاستیک و ارتباط آن با خواص مکانیکی پرداختند. نتایج طیف‌سنجدی نشان داد که باندهای جذبی گروه‌های کربونیل C=O و اتصالات در نواحی ۱۶۸۸-۱۷۵۵ cm<sup>-۱</sup> در حضور عامل جفت‌کننده اندیردید مالتیک پلی‌پروپیلنی افزایش یافته و این پدیده باعث افزایش ویژگی‌های مکانیکی در فرآورده مرکب الیاف چوب - پلیمر در محدوده ۳۰ درصد الیاف شده است. همچنین نتایج طیف‌سنجدی نشان داده است که باندهای جذبی گروه کربونیل C=O در دمای ۱۹۰ درجه سانتی‌گراد در محدوده ۱۷۰۴-۱۷۲۵ cm<sup>-۱</sup> به دست آمده که منطقه مناسب برای تشکیل اتصالات بوده است.

Chen و همکاران (۲۰۰۵)، خواص چندسازه ساخته شده از پلی‌پروپیلن خام و پلاستیک بازیافته (پلی‌اتیلن سبک) را به همراه الیاف کتف مورد مطالعه قرار دادند. نتایج آنان نشان داد که مواد ساخته شده با پلی‌اتیلن سبک و ۴۰٪ کتف پست‌ترین خواص و مواد ساخته شده از پلی‌پروپیلن خام و ۴۰٪ کتف بهترین خواص را بروز دادند.

جدول ۱- مشخصات پلی‌اتیلن سنگین بازیافته مورد استفاده

گرید	نقطه ذوب (°C)	شاخص جریان مذاب کریستالیته	درصد	مواد تشکیل دهنده	دمای انتقال شیشه‌ای	شکل کاربرد
F7000 مهر	۱۴۵ تا ۱۳۵	۰/۶۱ g/10min	۹۰ تا ۴۵	پلیکا، نایلون	۸۰ تا ۱۲۵	پلیستیک‌های نوشابه، لوله پرک شده

1- Rice husk

### پرکننده

در این تحقیق از پسماند تولید فورفورال از باگاس (تهیه شده از شرکت نفت بهران) به عنوان پرکننده در ترکیب چندسازه استفاده شد. پس از آسیاب کردن پسماند، ذرات عبور کرده از مش ۴۰ و باقیمانده روی مش ۶۰ به عنوان پرکننده سلولزی مورد استفاده قرار گرفت.

### فرایند اختلاط (مخلوطسازی)

عملیات توزین عوامل متغیر شامل دو ماده بازیافته پسماند فورفورال و پلی اتیلن سنگین بودند و عامل ثابت مالئیک اندیرد و نسبت‌های وزنی، دقیقاً قبل از فرایند اختلاط مواد انجام شد. درصد وزنی اجزای کامپوزیت‌های ساخته شده با ذکر علائم اختصاری بکار رفته برای هر تیمار در جدول ۳ آورده شده است.

### عامل سازگار کننده

مالئیک اندیرد گرافت شده (پیوند شده) با پلی اتیلن (PE-g-MA) توسط شرکت آریا پلیمر پیشگام (واقع در شهرک علمی و تحقیقاتی اصفهان) ساخته شده بود. از این عامل سازگارکننده به منظور بهبود چسبندگی بین پلی اتیلن آب‌گریز (غیر قطبی) و پسماند سلولزی آب دوست (قطبی) استفاده

جدول ۲- مشخصات عامل سازگار کننده

نام تجاری محصول	درصد مالئیک	درصد میزان استفاده	شاخص جریان مذاب
PEGW 220	۲-۲/۵	۱/۵-۲/۵	gr/ ۱۰ min (۲۳۰ °C, ۲/۱۶ kg)

جدول ۳- درصد اجزای تشکیل‌دهنده چندسازه در تیمارهای مختلف

شماره تیمار	پسماند باگاس	پلی اتیلن سنگین بازیافته (%)	عامل جفتکننده (%)
۱	۲۰	۷۸	۲
۲	۳۰	۶۸	۲
۳	۴۰	۵۸	۲

آماده‌سازی مواد قبل از ساخت نمونه‌ها  
۱۴۵، ۱۵۰، ۱۵۵، ۱۶۰ و ۱۶۵ درجه سانتی‌گراد است. این دستگاه ظرفیت مخلوطسازی ۴۰۰ گرم مواد در هر نوبت را دارد و با سرعت گرددش ۶۰ دور بر دقیقه کار می‌کند. پس از اختلاط، مواد خروجی از اکسترودر به صورت مفتولی ضخیم از دستگاه خارج می‌شوند که پس از خنک و سخت شدن، به منظور تهیه گرانول برای استفاده در دستگاه تزریق، از دستگاه خردکن نیمه صنعتی Wieser مدل-WG-

آماده‌سازی مواد قبل از ساخت نمونه‌ها  
عمل اختلاط نمونه‌ها توسط دستگاه کولین<sup>۱</sup> واقع در پژوهشگاه پلیمر و پتروشیمی ایران انجام شد. این دستگاه یک اکسترودر دو مارپیچه همسوگرد ساخت کشور آلمان است. اکسترودر دارای پنج نقطه حرارتی با دماهای

۱-Collin

جدول ۴ ذکر شده است.

**طیف سنجی FTIR:** طیف‌ها با استفاده از دستگاه طیف-

Bruker FTIR Equinox 55 ساخت شرکت آلمان مورد بررسی قرار گرفت. لازم به توضیح است با توجه به حدأکثر بودن مقاومت و مدول کششی و خمشی چندسازه، با افزودن ۳۰ درصد پسماند فورفورال، طیف FTIR فقط برای این چندسازه بررسی شد.

#### مقایسه آماری

برای مقایسه اختلاف آماری بین میانگین نتایج به دست آمده از روش تجزیه واریانس یک‌طرفه با کمک نرم افزار SPSS استفاده شد. البته گروه‌بندی میانگین‌ها با آزمون دانکن در سطح اطمینان ۹۵ درصد انجام شد.

#### نتایج

در جدول ۵، نتایج حاصل از تجزیه و تحلیل خصوصیات مکانیکی چندسازه تهیه شده ارائه شده است. نتایج این جدول نشان می‌دهد که اثر افروden پرکننده در سه سطح مورد بررسی بر میانگین همه مقاومت‌های چندسازه معنی‌دار است.

Ls 200 ساخت کشور آلمان واقع در پژوهشگاه پلیمر و پتروشیمی ایران استفاده شد.

#### ساخت نمونه‌ها

برای ساخت نمونه‌ها از دستگاه قالب‌گیری تزریقی نیمه صنعتی مدل EM80 ساخت شرکت ایمن ماشین در سال ۱۳۷۶ استفاده شد. طراحی قالب تزریق به‌گونه‌ای است که در هر بار تزریق، نمونه‌های استاندارد آزمون کششی (نمونه‌های دمبلي)، خمشی (نمونه‌های ساده) و آزمون ضربه (نمونه‌های فاق‌دار) به دست آمدند. دمای سیلندر تزریق  $180^{\circ}\text{C}$ ، فشار تزریق ۱۰۰ بار و زمان دوره تزریق کمتر از ۲۰ ثانیه در نظر گرفته شد و نمونه‌ها پس از ۲–۳ دقیقه از قالب بیرون آورده شدند.

جدول ۴- آزمون‌های مکانیکی و استانداردهای مربوطه

نوع آزمون	تعداد تکرار در هر تیمار	استاندارد مورد استفاده
خمس	۳	ASTM D – 790
کشش	۳	ASTM D – 638
ضربه	۳	ASTM D – 256

#### آزمون‌های مکانیکی

آزمون‌های انجام شده به همراه استاندارد مربوطه در

جدول ۵- تجزیه و تحلیل آماری مقاومت‌های چندسازه ساخته شده

صفات	مقادیر F	سطح معنی‌داری
مقاومت کششی	۱۰/۳۷۵	.۰/۱۱*
مدول کششی	۱۰/۷۶۳	.۰/۰۱۰**
مقاومت خمشی	۴۸/۰۴۱	.۰/۰۰۰**
مدول خمشی	۸/۳۸۴	.۰/۰۱۸*
مقاومت به ضربه فاق‌دار	۲۹/۰۴۸	.۰/۰۰۱**

\* معنی‌دار در سطح اطمینان ۹۹٪

اختلاف معنی‌دار بین میانگین این ویژگی‌ها، گروه‌بندی میانگین‌ها توسط آزمون دانکن انجام شد که با حروف

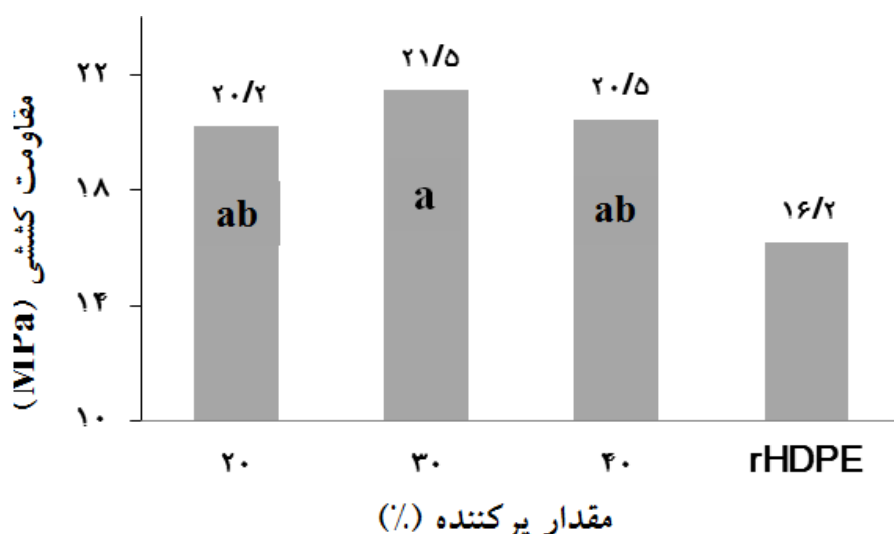
شکل‌های ۱ تا ۵ اثرات مقدار پرکننده بر ویژگی‌های مکانیکی چندسازه را نشان می‌دهد. با توجه به وجود

قرار گرفته است.

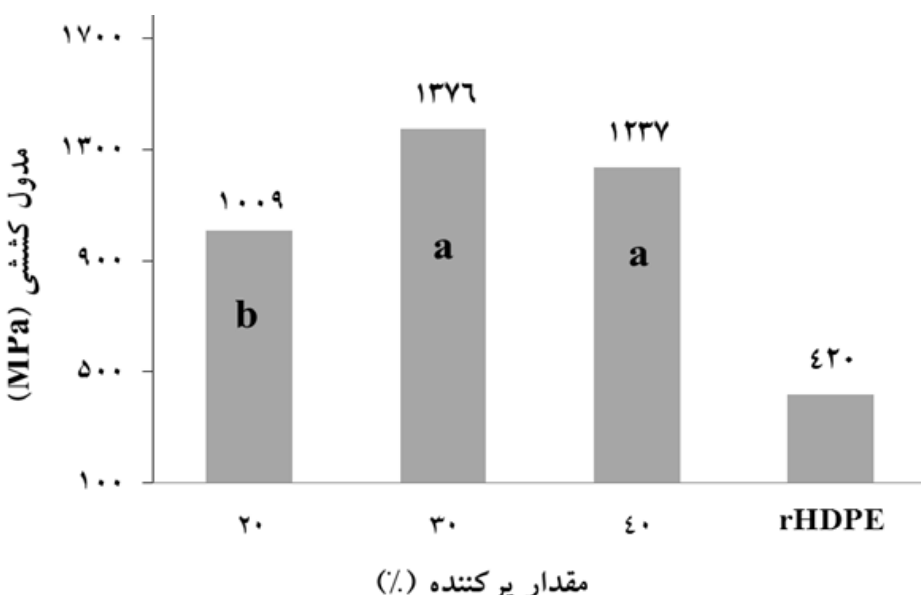
شکل ۲ نشان می دهد که با افزودن پرکننده در سطح ۳۰٪، مدول کششی چندسازه نسبت به نمونه شاهد (پلی اتیلن سنگین) بیشترین افزایش را داشته است. این در حالیست که میانگین مدول کششی برای سطح ۲۰ در گروه b و برای سطح ۳۰ و ۴۰ درصد در گروه a قرار گرفته است.

کوچک در این شکل ها مشخص شده است.

شکل ۱ نشان می دهد که با افزودن پرکننده در سطح ۳۰٪، مقاومت کششی چندسازه نسبت به نمونه شاهد (پلی اتیلن سنگین بازیافتی<sup>۱</sup>) بیشترین افزایش را داشته است. این در حالیست که میانگین این مقاومت برای دو سطح ۲۰ و ۴۰ درصد در گروه ab و برای سطح ۳۰ درصد در گروه a



شکل ۱- تأثیر مقدار پرکننده بر مقاومت کششی

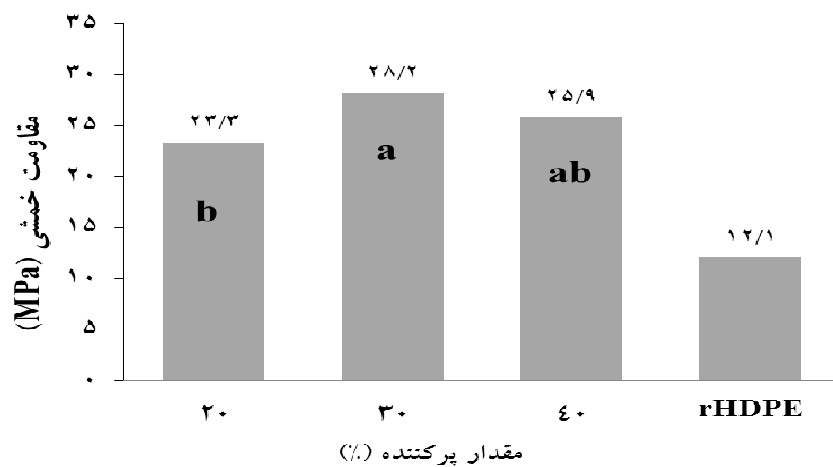


شکل ۲- تأثیر مقدار پرکننده بر مدول کششی

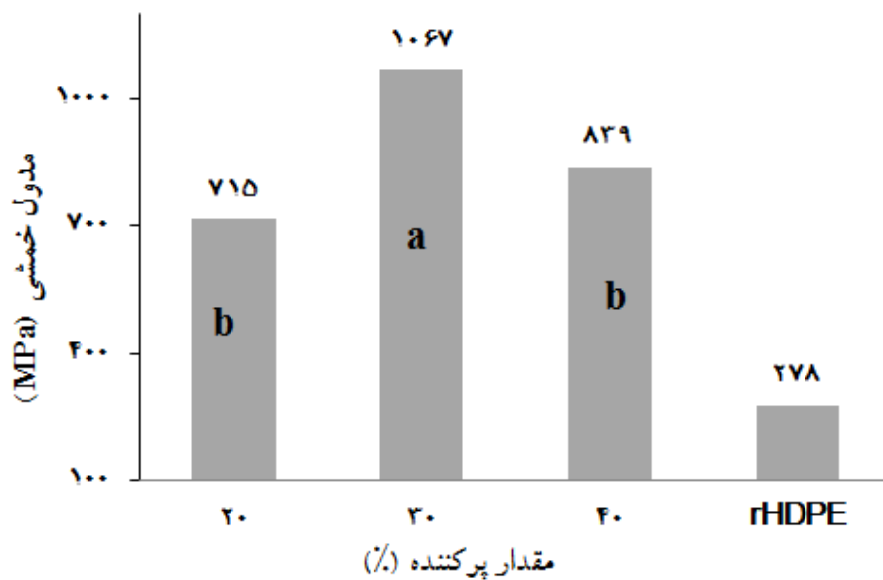
1- Recycled high density polyethylene (rHDPE)

شکل ۴ نشان می‌دهد که با افزودن پرکننده در سطح ۳۰٪، مدول خمشی چندسازه نسبت به نمونه شاهد (پلی‌اتیلن سنگین) بیشترین افزایش را داشته است. این در حالیست که میانگین این مقاومت برای دو سطح ۲۰ و ۴۰ درصد در گروه b و برای سطح ۳۰ درصد در گروه a قرار گرفته است.

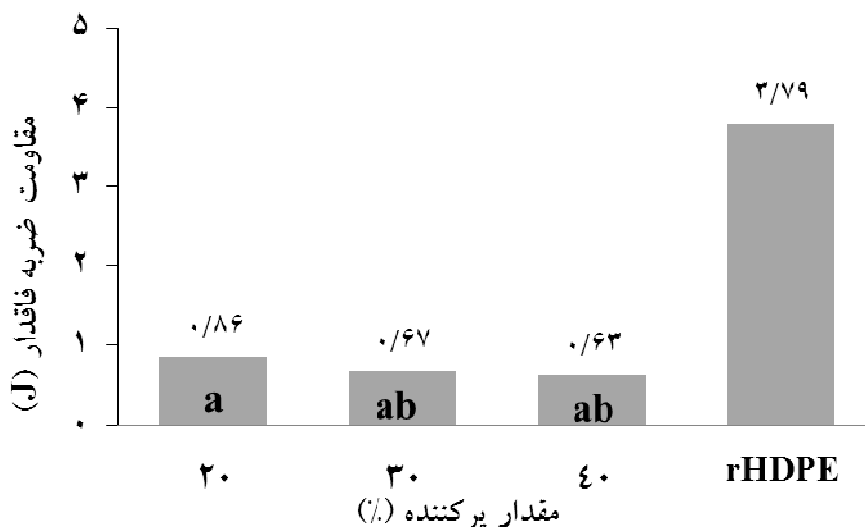
شکل ۳ نشان می‌دهد که با افزودن پرکننده در سطح ۳۰٪، مقاومت خمشی چندسازه نسبت به نمونه شاهد (پلی‌اتیلن سنگین) بیشترین افزایش را داشته است. این در حالیست که میانگین مقاومت خمشی برای سطح ۲۰ درصد گروه b، ۴۰ درصد در گروه ab و برای سطح ۳۰ درصد در گروه a قرار گرفته است.



شکل ۳- تأثیر مقدار پرکننده بر مقاومت خمشی



شکل ۴- تأثیر مقدار پرکننده بر مدول خمشی



شکل ۵- تأثیر مقدار پرکننده بر مقاومت به ضربه فاق دار

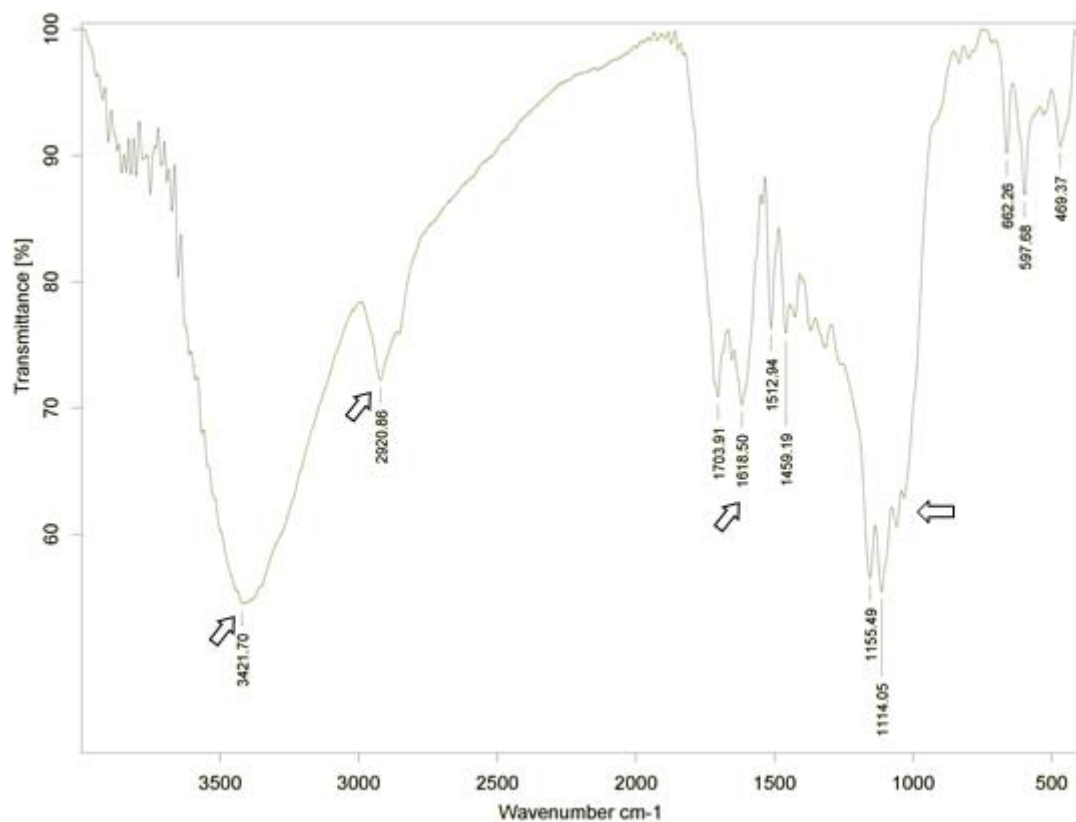
آروماتیکی در لیگنین است. شدت جذب در محدوده  $1200-1280\text{ cm}^{-1}$  به گروههای C-O-C است. در نمونه پسماند تولید فورفورال از باگاس شدت جذب پیوند کشش C-O در سلولز و همیسلولز در محدوده  $1000-1050\text{ cm}^{-1}$  را نشان می‌دهد.

شکل ۷ طیف به دست آمده از چندسازه حاوی ۳۰ درصد پسماند تولید فورفورال از باگاس را نشان می‌دهد. در محدوده  $2800-3000\text{ cm}^{-1}$  پیوند کششی C-H در محدوده  $2915\text{ cm}^{-1}$  متتمرکز شده است که شدت آن در محدوده  $2960\text{ cm}^{-1}$  و  $2848\text{ cm}^{-1}$  بیشتر نسبت به دو محدوده  $1750\text{ cm}^{-1}$  و  $1600\text{ cm}^{-1}$  است. علاوه بر آن، در محدوده  $1750\text{ cm}^{-1}$  پیوند کشش ضعیف کربونیل (C=O) قابل مشاهده است. شدت جذب در محدوده  $1280-1200\text{ cm}^{-1}$  مربوط به گروههای C-O-C است که در محدوده  $1260\text{ cm}^{-1}$  شدت جذب بیشتر است. شدت جذب پیوند کشش C-O در محدوده  $1050\text{ cm}^{-1}$  و  $1000\text{ cm}^{-1}$  مشاهده شد. همچنین شدت جذب پیوند کشش C-O در سلولز و همیسلولز در محدوده  $1050\text{ cm}^{-1}$  و  $1000\text{ cm}^{-1}$  قابل مشاهده است.

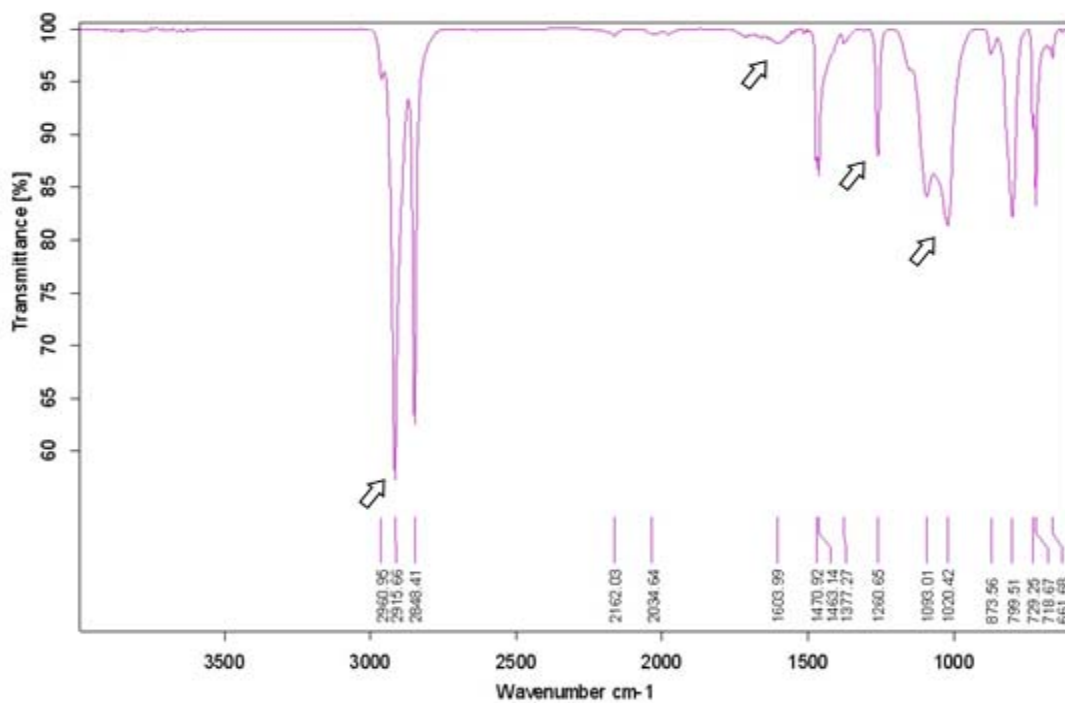
شکل ۵ نشان می‌دهد که با افزودن پرکننده در سطح ۴۰٪، مقاومت به ضربه فاق دار چندسازه نسبت به نمونه شاهد (پلی اتیلن سنگین) بیشترین کاهش را داشته است. این در حالیست که میانگین این مقاومت برای دو سطح ۳۰ و ۴۰ درصد در گروه ab و برای سطح ۲۰ درصد در گروه a قرار گرفته است.

#### بررسی طیف‌های FTIR

شکل ۶ طیف به دست آمده از پسماند تولید فورفورال از باگاس را نشان می‌دهد. در محدوده  $3450-3300\text{ cm}^{-1}$  پیوند کششی قوی O-H متتمرکز شده است و یک جذب دوتایی از ارتعاشات کششی C-H در محدوده  $2920-2910\text{ cm}^{-1}$  متتمرکز شده است. محدوده  $1700-1750\text{ cm}^{-1}$  کشش C=O غیر مزدوج و مرتبط با گروههای کربونیل، آلدهید و کتون موجود در لیگنین و همیسلولزها (زاپلان) است. جذب در حدود  $1618\text{ cm}^{-1}$  احتمالاً مربوط به دیگر ترکیبات دارای گروههای کربونیل در چوب و  $\text{H}_2\text{O}$  جذب C=C شده در سلولز را نشان می‌دهد. شدت جذب پیوند در محدوده  $1618-1660\text{ cm}^{-1}$  مربوط به ساختار



شکل ۶- طیف FTIR نمونه خام پسماند تولید فورفرورال از باگاس



شکل ۷- طیف FTIR نمونه حاوی ۳۰ درصد پسماند تولید فورفرورال از باگاس

## بحث

جذب بار ناگهانی در نقطه شکست اندازه‌گیری می‌شود. تقابل بین ذرات سلولزی نزدیک به هم موجب افزایش شکنندگی ماده زمینه (پلیمر) شده و موجب شکل‌گیری ترک‌هایی در آن می‌شود (Tong و همکاران، ۲۰۱۳). از طرف دیگر، کاهش انعطاف‌پذیری ماده زمینه با افزایش نسبت پرکننده می‌تواند موجب کاهش مقاومت به ضربه چندسازه شود (Nourbakhsh & Ashori, 2009).

با افزایش درصد پرکننده عدم سازگاری بین پرکننده و ماده زمینه بیشتر شده و فرآورده در مقابل ضربه ضعیفتر می‌شود. در واقع به دلیل کاهش چرمگی (ضربه‌پذیری) و افزایش تردی نمونه‌ها، مقاومت به ضربه کاهش پیدا می‌کند (Klyosov, 2007; Razavi-Nouri *et al.*, 2006). همچنین حضور ماده لیگنوسلولزی، ارزی جذب شده توسط چندسازه چوب پلاستیک را افزایش می‌دهد، از این‌رو افروden پرکننده لیگنوسلولزی مناطقی را در شبکه پلیمری به وجود می‌آورد که موجب تمرکز بیشتر تنش در ماتریس پلیمری شده و نقاط شروع شکست را ایجاد می‌کند و رشد ترک را از آن ناحیه آغاز می‌کند (Nourbakhsh *et al.*, 2005; Tajvidi, 2004). البته کاهش مقاومت به ضربه چندسازه با افزایش پرکننده سلولزی، با نتایج بدست آمده Cui *et al.*, Yang *et al.*, 2004; Kord, 2009 توسط ۲۰۰۸ و ۲۰۱۳، Azeez هم خوانی دارد.

### طیف‌سنجدی

نتایج طیف‌سنجدی FTIR نشان داد که باندهای جذبی گروه‌های کربونیل  $\text{C}=\text{O}$  و اتصالات در نواحی  $1750\text{ cm}^{-1}$ - $1600$  در حضور عامل سازگارکننده ایندرايد مالئیک پلی-اتیلنی تا حدود کمی افزایش یافته و این پدیده باعث افزایش ویژگی‌های مکانیکی در چندسازه چوب پلاستیک در هنگام استفاده از  $30$  درصد الیاف پسماند تولید فورفورال از باگاس شده است. در واقع، باندهای جذبی اتصالات در نواحی مختلف با حضور عامل جفت کننده تشکیل شده است. میزان جذب گروه‌های کربونیل در باندهای جذبی  $1750\text{ cm}^{-1}$ - $1600$  در فرآورده چندسازه مرکب نشان‌دهنده به وجود

تأثیر مقدار پرکننده بر مقاومت و مدول کششی و خمشی در این تحقیق ملاحظه گردید که با افزایش مقدار پرکننده از  $20$  به  $30$  درصد وزنی، میزان تنش قابل تحمل ماده مرکب بر اثر وجود فاز تقویت‌کننده افزایش می‌یابد که باعث افزایش مقاومت کشش و خمشی، مدول کششی و خمشی چندسازه George *et al.*, 2001؛ Kokta and Maladas, 1990؛ Nourbakhsh *et al.*, 2005 مطابقت دارد. با افزایش  $40$  درصدی پرکننده به‌واسطه متراکم شدن ذرات و عدم یکنواختی توزیع آنها در ماده زمینه با افزایش مقدار پرکننده، میزان چسبندگی ذرات به پلیمر کاهش یافته و انتقال تنش وارد در اثر ساختار متخلخل لیگنین محدود می‌شود. حفرات موجود در چندسازه موجب تراکم تنش‌های وارد شده و شکست در این نقاط اتفاق می‌افتد. از طرف دیگر، سطح تماس بین دو فاز (پرکننده و ماده زمینه) با وجود حفرات بین دو ماده کاهش خواهد یافت (Schorr و همکاران، ۲۰۱۴).

همچنین Samal و همکاران (۲۰۱۳) عدم سازگاری بخش قطبی و آب‌دوست لیگنین با پلی‌اتیلن و نیز عدم پراکنندگی یکنواخت ذرات پرکننده و در نتیجه چسبندگی ضعیف بین سطوح دو ماده را علت کاهش مقاومت کششی با افزایش بیشتر لیگنین از  $15$  تا  $30$  درصد عنوان نموده‌اند.

از طرف دیگر Fazi (۲۰۱۲) افت مدول کششی چندسازه با استفاده از الیاف بیشتر را به علت وجود حد آستانه‌ای<sup>۱</sup> برای افروden الیاف سلولزی می‌داند که خود به دلیل توزیع ضعیف الیاف در ماده زمینه و تشکیل فاز غیر پیوسته با افروden الیاف بیشتر از  $15$  درصد است.

در این تحقیق ملاحظه گردید که با افزایش مقدار پرکننده از  $20$  به  $40$  درصد وزنی، مقاومت به ضربه فاق‌دار چندسازه چوب پلاستیک کمی کاهش می‌یابد. یعنی افزودن پرکننده به پلیمر تا حدودی موجب کاهش مقاومت به ضربه فاق‌دار شده است. در آزمون ضربه، توانایی چندسازه به

1- Threshold

- Nourbakhsh, A., Karegarfard, A. and Ashori, A., 2010. Effects of Particle Size and Coupling Agent Concentration on Mechanical Properties of Particulate-filled Polymer Composites, *Termoplastic Composites Material*, 23(2), 169-174.
- Nourbakhsh, A., Karegarfard, A., Gholbabaei, F. and Hajihassani, R., 2011. Effect of chemical processes occurring in the composite wood - plastic and its relation to mechanical properties, In: Proceeding of the first national conference on forest and wood and paper industry, Islamic Azad University, Astara, 545-555.
- Klyosov, A.A., 2007. *Wood Plastic Composites*. Wiley Publishing, 726p.
- Kokta, B.V., and Maladas, D., 1990. Composites of Polyvinyl Chloride wood fibers. *Journal of Polymer Plastic Technology*, 20 (1-2), 87-118.
- Razavi Nouri, M., Jafar Zadeh, F., Oromiehei, A., and Ershad Langroudi, A., 2006. Mechanical Properties and Water Absorption Behavior of Chopped Rice Husk Filled Polypropylene Composites. *Iranian Polymer Journal*, 15, 9(75), 757-766.
- Samal, S.K., Fernandes, E.G., Corti, A., and Chiellini, E. 2013. Bio-based Polyethylene-Lignin Composites Containing a Pro-oxidant/Pro-degradant Additive: Preparation and Characterization, *J Polym Environ*, 22(1), 52-68.
- Schorr, D., Rodrigue, D., Diouf, P.N., and Stevanovic, T., 2014. Recycled Polystyrene Composites Reinforced With Esterified and Non-Esterified Kraft Lignins, *Journal of Materials Science Research*, 4(1), 63-74.
- Shokrieh, M., M., and Sonbolestan, S., E., 2008. Effects of Structural Parameters on Mechanical Properties Polymer/Clay Nanocomposites, *Iranian Journal of Polymer Science and Technology*, 20(2), 187-195.
- Tajvidi, M., 2004. Engineering and viscoelastic properties of thermoplastic polymers and composite materials made from natural fibers using dynamic analysis - mechanical (DMA), Ph.D Thesis, Department Wood and Paper, College of Agriculture and Natural Resources, Tehran University, Karaj, 178p.
- Tong, J.Y., Royan, N.R.R., Ng, Y.C., Ghani, M.H.A., and Ahmad, S., 2013. Study of the mechanical and morphology properties of recycled HDPE composite using rice husk filler, *Advances in Materials Science and Engineering*, Article ID 938961, 6 p.
- Yang, H.S., H.J. Kim, J. Son, H.J. Park, B.J. Lee, and Hwang, T.S., 2004. Rice-husk flour filled polypropylene composites: mechanical and morphological study. *Journal composites structures*, 63, 305-312.
- Yousefi, H., 2007. The possibility of using canola straw medium density fiberboard production (MDF). Master's thesis. College of Agriculture and Natural Resources, Tehran University, Karaj, 132p.

آمدن اتصالات شیمیابی در چندسازه است.

#### منابع مورد استفاده

- Ashori, A. and Nourbakhsh, A., 2009. Mechanical behavior of agro-residue-reinforced polypropylene composites, *Journal of Applied Polymer Science*, 111(5), 2616-2620.
- Azeez, T.O., 2013. Effect of rice husk filler on mechanical properties of polyethylene matrix composite, *Federal University of Technology Owerri. Journal of Thermal Analysis and Calorimetry*, 5(15):111-118.
- Basiji, F., Safdari, V., Nourbakhsh, A. and Pilla, S., 2009. The effect of fiber Length Loading on the mechanical properties of Wood-Plastic (Polypropylene) Composites. *Turkish Journal of Agriculture and Forestry*, 34, 191-196.
- Chen, H.C., Chen, T.Y., and Hsu, C.H., 2005. Effects of Wood Plastic Size and Mixing Ratios of HDPE on the Properties of the Composites. *Springer-Verlog*, 64, 172-177.
- Cui, Y. S., Lee, B., Noruzian, M. Cheung, and Tao, J., 2008. Fabrication and interfacial modification of wood/recycled plastic composite materials, *Composites Part A*, 39 (4), 655-661.
- Fazi, M., 2012. A Study of Fibre-Matrix Interactions in Biodegradable Kraft Pulp Fibre-Reinforced Polylactic Acid Composites, Masters of Applied Science, Department of Chemical Engineering and Applied Chemistry University of Toronto, 85p.
- George, J., Sreekala, M.S. and Thomas, S., 2001. A review on interface modification and characterization of natural fiber reinforced plastic composites, *Polymer engineering and Science*, 41(9), 1471-1485.
- Jadianian., F., 2015. Study of thermal energy and activated carbon from waste bagasse. Master's thesis, Department Wood and Paper, Islamic Azad University, Science and Research Branch, Tehran, 73p.
- Kord, B., 2009. Characterization of physical, mechanical and morphological hybrid composite wood flour - polypropylene and nano-filler, Ph.D thesis, Department Wood and Paper, Islamic Azad University, Science and Research Branch, Tehran, 198p.
- Nourbakhsh, A., Dushtosseini, K., Jahanlatibari, A., and Hosseinzadeh, A., 2005. Effect of the type, quantity and temperature of the mixture of cellulose fibers on mechanical properties of wood fiber polymer composites, *Journal of Forest and Wood Products*, 57(4), 765-775.
- Nourbakhsh, A., and Ashori, A., 2009. Preparation and Properties of Wood Plastic Composites Made of Recycled High-density Polyethylene, *Journal of Composite Materials*, 43(8). 877-883.

## Investigation on mechanical properties of composite from recycled HDPE filled by furfural residue produced from bagasse

H. Ahmadi<sup>1</sup>, H. Hamassi<sup>2</sup> and S. Mahdavi<sup>3\*</sup>

1- M.Sc., Student of wood and paper science, Science and Research Branch, Islamic Azad University, Tehran, Iran

2- Associated Prof., Science and Research Branch, Islamic Azad University, Tehran, Iran

3\*- Corresponding author, Associated Prof., Wood and forest product, Research Institute of Forests and Rangelands, Tehran, Iran, Email: smahdavi43@rifr.ac.ir

Received: Feb., 2014 Accepted: April, 2015

### Abstract

The aim of this study was to investigate the mechanical properties of composite produced using recycled HDPE (high-density polyethylene) filled by furfural residue produced from bagasse. For this purpose, rHDPE was used at three levels 58, 68 and 78% and furfural residue as a filler was added at levels of 20, 30 and 40%. The grafted maleic anhydride with polyethylene (PE-g-MA) was used at constant amount of 2% as compatibilizer which was purchased from Arya polymer Co. The ingredients were mixed using two screw extruder and test pieces were made using injection molding method. Composite properties such as tensile strength, flexural and V-notch impact were measured according to ASTM test methods. The results showed that with increasing the filler content from 20 to 30% by weight, tensile modulus and flexural strength increased compared to the control and then reduced at 40 percent of filler. FTIR spectroscopy of the furfural residue and composite filled by 30% was carried out. Also, by increasing the filler content from 20 to 40% by weight, V-notch impact strength of composite decreased. FTIR spectroscopy revealed that the absorption bands of carbonyl groups (C=O) in 1750-1600 cm<sup>-1</sup> wavelength was slightly increased if maleic anhydride compatibilizer was used. The maximum increases on mechanical properties of composite were achieved using 30% residual furfural as filler.

**Keywords:** rHDPE, furfural residue, mechanical properties, FTIR spectroscopy.